

京都大学工学部 正員 岩佐 義朗

" " ○井上 和也

" " 齋藤 東一

茨水流をはじめとする河川流の非定常流の数値シミュレーションを行なうとき、境界条件の課せらるている境界とそうでない中間界とでは計算方式を若干変更する必要があることが多い。例えば、Lax-Wendroff の差分 scheme は境界条件では適用されえないため代りに Box scheme がとられたり、あるいは与えられた境界条件以外にいわゆる computational boundary condition が追加されたたりする。¹⁾

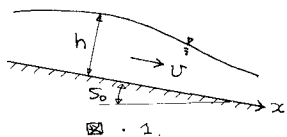
本報は、上流端の境界条件としてゆるやかな水位変化が与えられた非定常流に因し、標準化された基礎式の解析解と特性曲線法および Box scheme による境界条件の差分解とを比較し、その差について考察を行ない、差分式より境界条件の扱い方に注目したものである。

1. 基礎式とその特型解

基礎式としてつぎの連続式とエネルギー式を考える。

$$\frac{\partial h}{\partial t} + U \frac{\partial h}{\partial x} + h \frac{\partial U}{\partial x} = 0 \quad \dots (1)$$

$$\frac{1}{g} \frac{\partial U}{\partial t} + \frac{\partial h}{\partial x} + \frac{\partial}{\partial x} \left(\frac{U^2}{2g} \right) = S_0 - S_f \quad \dots (2)$$



図・1.

ここで、 $S_f = h^2 U^2 / h^{1/2}$ としておく。いま、定常等流の状態 ($U = U_0$, $h = h_0$, $S_0 = S_f$) を考え、これに上流端 ($x=0$) でつぎの擾乱が加ったときの流れ ($x \geq 0$) を考える (m は微小量とする)。

$$x=0, t>0 \quad h = h_0 + mt \quad \dots (3)$$

さて、(1), (2)式において、 $h = h_0 + mt$, $U = U_0 + u$ とおく。擾乱の初期においては u , h は十分に小さくそれらの二つ以上の項は無視されるとすると、(1), (2)式は標準化される。これらの二式から h を消去すると、

$$\frac{\partial u}{\partial t} + 2U_0 \frac{\partial u}{\partial x} - (9h_0 - U_0^2) \frac{\partial^2 u}{\partial x^2} + 9S_0 \left(\frac{2}{U_0} \frac{\partial u}{\partial t} + \frac{10}{3} \frac{\partial^2 u}{\partial x^2} \right) = 0 \quad \dots (4)$$

となる。また、初期条件: $t=0, x>0 \quad u=0$, 境界条件: $t>0, x=0 \quad u=m t$ である。(4)式を擾乱の初期に限定して解き、 h_0 とまとめてつぎのようになる。

$$h = \begin{cases} h_0 + m(t - \frac{x}{U_0 + \sqrt{gh_0}}) \exp \left(-\frac{\lambda x}{\sqrt{gh_0}} \frac{1-3F}{1+F} \right) + O(t - \frac{x}{U_0 + \sqrt{gh_0}})^2 & ; x < (U_0 + \sqrt{gh_0})t \\ h_0 & ; x \geq (U_0 + \sqrt{gh_0})t \end{cases} \quad \dots (5)$$

ここで、 $F = U_0 / \sqrt{gh_0}$, $\lambda = 9S_0 / U_0$ である。(5)式を用いて流速を求めると、

$$U = \begin{cases} U_0 + \alpha t' + \beta (1 - e^{-\lambda x t'}) & ; t' \equiv t - x / (U_0 + \sqrt{gh_0}) > 0 \\ U_0 & ; x \geq (U_0 + \sqrt{gh_0})t \end{cases} \quad \dots (6)$$

となる。ここで、 $\alpha = m U_0 (3 - F + 2F^2) e^{-\frac{\lambda x}{\sqrt{gh_0}} \frac{1-3F}{1+F}} / 6Fh_0$, $\beta = m U_0 (3 + F - 2F^2) e^{-\frac{\lambda x}{\sqrt{gh_0}} \frac{1-3F}{1+F}} / 12Fh_0$ であり、またその高次の項は省略されている。(6)式より、上流端における流速の変化はむしろ小さいとき、

$$U|_{x=0} = U_0 + \sqrt{gh_0} m t' \quad \dots (7)$$

である。なお、以上の場合には擾乱の初期に限られていて、 $\lambda(t - x / (U_0 + \sqrt{gh_0})) \ll 1$ の領域で適用される。

2. 差分法による解との比較

擾乱の初期のみを取つておきの、差分法による解も図・2 のように、最上流の凹向で、しかも $t=0$ のときのみについて求めることにする。A, B 点では初期条件より $h_A = h_B = h_0$, $U_A = U_B = U_0$, $(S_f)_A = (S_f)_B = S_0$ であり、

また奥の方では境界条件より $h_D = h_0 + m \Delta t$ である。なお、計算の安定条件より、

$$\Delta t / \Delta x < 1 / (U_0 + \sqrt{gh_0})$$
 としておく。

特性曲線法による解：(1), (2)式を特性曲線表示に改めると、

$$d\eta / dt = U \pm \sqrt{gh} \quad \text{に沿って}, \quad g dh + (d\eta / dt - U) dx - g(S_0 - S_f) (d\eta / dt - U) dt = 0 \quad \dots (8)$$

となる。これを前段の方法によって差分化し、C, D奥の h , U を求めると、

$$h_C = h_0, \quad U_C = U_0, \quad U_D = U_0 + \sqrt{g/h_0} \Delta t \quad \dots (9)$$

となって、類型方程式の解析解(5), (6), (7)式と一致した結果が得られる ($\Delta t = \Delta x$)。

Box scheme による解：最上流の区间に適用されると、Box scheme は通常つぎのように表わされる。

$$(h_D - h_A) / \Delta t + (h_C - h_B) / \Delta t + (U_C - U_B) / \Delta x + (U_B - U_A) / \Delta x = 0 \quad \dots (10)$$

ただし $U = Uh$ である。これを用いて U_D を求めるには、 U_C , h_C を知らなければならぬが、これらは Lax-Wendroff 法あるいは特性曲線法などの explicit 方法で求められているとする。このとき式と同様に $h_C = h_0$, $U_C = U_0$ であるから、 U_D , U_B はつぎのようになる ($U_0 = U_0 h_0$)。

$$U_D = U_0 + m \Delta x, \quad U_B = (U_0 + m \Delta x) / (h_0 + m \Delta t) \approx U_0 + m (\Delta x - U_0 \Delta t) / h_0 \quad \dots (11)$$

安定条件より $(\Delta x - U_0 \Delta t) / h_0 > \sqrt{g/h_0} \Delta t$ であるから、結局この場合の Box scheme は上流端の流速に解析解より過大な値を与えることになる。

3. 貯留量と出入り流量

上述のような誤差の理由はつぎのようになります。まず、流下距離があまり大きい区間に限ることにし、 $\lambda \sqrt{gh_0} \left(\frac{1-\beta \lambda}{1+\lambda} \right) \ll 1$ としておく。 (5)式で表わされる水面形は図3のようであり、 $t=0 \sim \Delta t$ の間に $0 \sim x$ の区间に貯留された水量の増加 $\Delta V(x)$ (図の斜線の部分) は、

$$\Delta V(x) = \int_0^x (h-h_0) dx = \begin{cases} mx(\Delta t - x/(U_0 + \sqrt{gh_0}) \Delta t) & ; \quad x < (U_0 + \sqrt{gh_0}) \Delta t \\ m \Delta t^2 (U_0 + \sqrt{gh_0}) / 2 & ; \quad x \geq (U_0 + \sqrt{gh_0}) \Delta t \end{cases} \quad \dots (12)$$

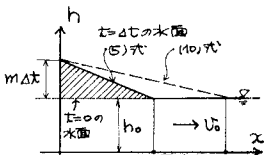


図. 3

となる。すなはち、 $\Delta V(x)$ は、 $t=\Delta t$ での水面形を直線であるとし、かつその先端が $(U_0 + \sqrt{gh_0}) \Delta t$ で止むとしたときの貯留量である。また、 $0 \sim \Delta t$ の間にあたる断面を流下する水量（基底流量 Q_0 を除く） $\Delta Q(x)$ は、

$$\Delta Q(x) = \int_0^x (Q - Q_0) dt = \begin{cases} m(U_0 + \sqrt{gh_0})(\Delta t - x/(U_0 + \sqrt{gh_0}))^2 & ; \quad x < (U_0 + \sqrt{gh_0}) \Delta t \\ 0 & ; \quad x \geq (U_0 + \sqrt{gh_0}) \Delta t \end{cases} \quad \dots (13)$$

となる。以上の2式より、 x の大小にかかわらず、 $\Delta V(x) = \Delta Q(0) - \Delta Q(x)$ が導かれ、(1)式を積分した連続式が満たされていることが確認される。

一方、(10)式の Box scheme は、(1)式の連続式を図2で示される四辺形 ABCD の周に沿う積分に改め、かつ各辺の積分を台形公式で近似した関係に他ならない。このことは、 $t=\Delta t$ での水面形を図3の直線で近似することに相当する。その結果、 $0 \sim \Delta t$ の間に貯留された水量の増加を(12)式より過大に見積ることになり、工流端の流量ならびに流速が解析解よりも大きくなるという誤差が生じるのである。

上述の誤差の相対的的程度は Δx と $(U_0 + \sqrt{gh_0}) \Delta t$ の大きさに關係し、またその絶対的の大きさは水深の変化率にも關係する。この誤差が解全体にどの程度影響するかは明らかでないが、水深の変化がゆるやかなとき特性曲線法と Box scheme とでほとんど差はない例もあり、誤差はあまり大きくなないと予想される。しかし、水深の変化の大きさとき（岸斜上昇波も含む）には必ずしも無視しえないと考えられるので今後検討を進めたい。

文献：1) 伊藤剛編、「数値解析の応用と基礎」、アテネ出版、1971。 2) M.J. Lighthill and G.B. Whitham, Proc. Roy. Soc. London, Vol. 229, 1955. 3) 岩佐・井上・伊丹, 昭和48年度年譲, II-117, 1973. 4) 岩佐・井上・前松, Proc. 1st Bi-lateral U.S.-Japan Seminar in Hydrology, 1971.